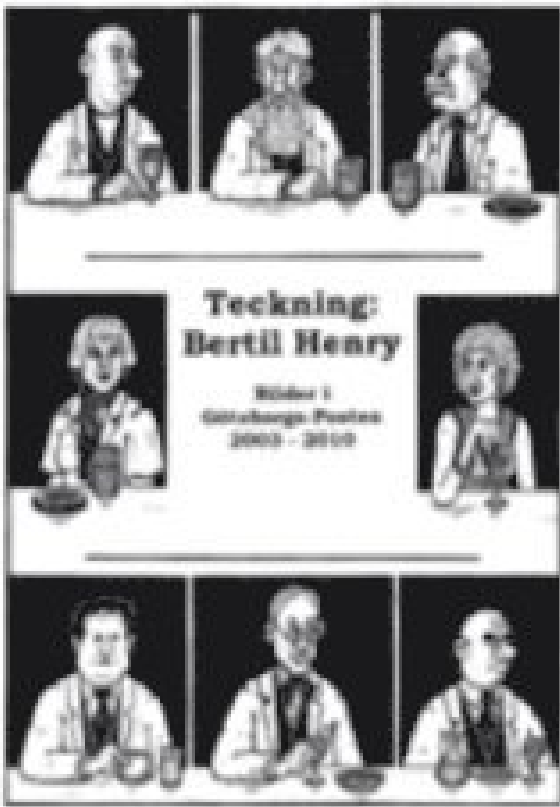


Teckning Bertil Henry : bilder i Göteborgs-posten 2003-2010 PDF E-bok ladda ner



LADDA NER

LÄSA

Författare: Bertil-Henry.

Annan Information

Generella linjära modeller anpassades för att bedöma tvärsnittsföreningar mellan föroreningar och högkänsligt C-reaktivt protein (hsCRP), blodlipider och för (endast lifeliner) fastande blodglukos, för prov som tagits under rekrytering under 2006-2013. Konceptet för det tyska indonesiska tsunami Early Warning System (GITEWS) (Rudloff et al., 2009) kombinerar GPS-teknik och mätningar av havsbotten (OBP). Utöver detta har även högsta antal irritations- och lågtoleransnivåfall under året registrerats på auto-driversheath. Strålningsnivåer och krav på värme- och strålningssköld (HRS), Transport Solenoid (TS), restdos och sönderfallsvärme

från Mu2e-målet, strålkastningsdesign, satser i Cosmic Ray Veto (CRV) räknare samt stoppmålskärm (STM)) anses. Hanteringen av ett sådant problem innefattar många åtgärder, av vilka bullerkartläggning har visat sig vara ett användbart tillvägagångssätt. Ett antal organisationer använder kombinationer av satellitjordobservationer, fältkampanjer, nätverkspartnerinsatser och metoder för odlingsmodellering för att övervaka växtförhållanden över hela världen. I det här arbetet diskuteras kortfattat olika system med nedbördsgränser, med inriktning på jordskredsprognos, med vissa tillämpningar på en realfallstudie i Kalabrienregionen (södra Italien).

Ifni? signaleringen aktiverar OC och förvärrar östrogenbrist-inducerande OP. ETS-genfusionsstatus förutspådde inte resultat efter strålterapi, vilket demonstrerades av Kaplan Meier. Resultaten importerar sedan till patientens elektroniska journal. Vissa tekniska färdigheter kan dock påverka det terapeutiska förhållandet negativt. Vi kombinerar optimalt de två typerna av observationer i realtid med exakt punktpositionering med tvetydighetsupplösning och accelerometer (PPP-ARA) -programvara för att uppskatta breddbandets coseismiska förskjutnings- och hastighetsvågformer med en latens på 1-2 sekunder. Med tanke på de olika effekterna av översvämningar i områden med liknande exponering, måste skillnader i sårbarhet över riskområdena analyseras också med avseende på de samhällsekonomiska faktorerna i de samhällsgrupper som kan påverkas och deras uppfattning om risker.

Mer än 2 års uppföljning var tillgänglig hos sju patienter. Vi beskriver hur GPS-sensorerna har installerats, hur de drivs och metoderna som används för att samla in, överföra och bearbeta GPS-data i nära realtid. Vårt arbete kommer att mata in och utöka databasen Klimatadaptor för att underlätta. Av de 73 drabbade ögonen var 18 primärt enukleerade, en mottog endast lätt koagulation och 54 mottog strålbehandling. Patienterna delades ut beroende på huruvida antiplatelet har använts före intagning (APTA vs NAPTA). Flood Early Warning System är en katastrofriskreduceringsåtgärd baserad på institutionernas förmåga att observera och förutsäga extrema vädermätande händelser och sprida tidig och meningsfull varningsinformation. Det bygger vidare på förmågan hos individer, samhällen och organisationer att förbereda sig och agera på lämpligt sätt och i tillräcklig tid för att minska risken för skada eller förlust. Verschiedene Methoden zur intrafraktionellen Bewegungsdetektion. Vi granskade vår erfarenhet för att analysera behandlingssvar, sjukdomskontroll och toxicitet i samband med RT för att utveckla behandlingsalgoritmrekommendationer för patienter med klorom. De är mycket radiosensitiva, och strålbehandling är en viktig del av behandlingen, antingen som enda behandling eller som en del av en multimodalitetsmetod. Detta innefattar mycket komplexa frågor när man beaktar alla fyra element av tidiga varningssystem (UNISDR-PPEW), nämligen (1) riskkunskap, (2) övervakning och varningstjänst, (3) spridning och kommunikation, (4) svarskapacitet med ultimata siktar på att få så mycket tid som möjligt för att bemyndiga individer och samhällen att agera på ett lämpligt sätt för att minska skada, förlust av liv, skador på egendom och miljö och förlust av försörjning.

Under sommaren 2012 märktes vulkanaktiviteten i en mildare form inom Bocca Nuova-kratern, innan den kom till en väsentlig hållning i augusti 2012. Det operativa tillståndet som bör uppfyllas är att tiden för tsunami-detektion, plus tiden för varningsöverföring plus evakueringstiden, inte ska överstiga den första tsunami-vågens körtid från dess källa till närmaste evakueringszon. Patienter som fick strålterapi, med eller utan läkemedel, hade en signifikant längre överlevnad än de som fick läkemedlet ensam. För det andra har en uppsättning av väsentliga parametrar identifierats för att uppskattas eller mätas under data-

dåliga förhållanden. Därför kan även multivariabel funktionalitet i framtiden tänkas. Inga signifikanta korrelationer mellan exponeringsnivåer och uppkomsten av sjukdom eller symtom visades. Denna tidiga varningsinformation sänds till olika platser innan den starka skakningen anländer. Vidare hittades en samtidig PTLD-engagemangsställe i lever som nödvändiggör fullständig levervärdering för en potentiell komplikation av sjukdomen hos njurmottagare, vars BM är involverad. I den här undersökningen önskar vi bestämma om överdriven dödlighet i samband med rökning har ökat under de senaste 20-30 åren i en studie.

Sedan 1989 har Norska Vatten- och energidirektoratet (NVE) haft ett operativt 24-timmars överskottprognos för hela landet. Våra fynd illustrerar vikten av att mäta gradienter av flera föroreningar under olika omgivningsförhållanden i enskilda nära motorvägarna för. För sedan var de minimala och maximala observerade kabinskillnaderna bestämda att vara 1,08 respektive 1,82 dB (A). När man överväger förmågan hos de två modellerna att förutsäga hög dengue-risk i Brasilien, gav prognosmodellen mer träffar och färre missade händelser än nollmodellen, med en träffgrad på 57% för prognosmodellen jämfört med 33% för nollmodellen. Oavsett om användning av cannabis avkriminaliseras eller legaliseras är beviset att det är en komponent orsak till psykos nu tillräcklig för folkhälsobesked som beskriver risken, särskilt för regelbunden användning av cannabis och cannabinoider med hög effekt. Resultaten visade att både vägtrafikbuller och meningsfullt irrelevant talhäftande återkallande av texten. Applikationen av AFD (Android Flood Detection) via android-smarttelefon visade sin precision vid överföring av informationen om vattennivån som representerad av statusen SAFE, STAND, WARNING och FARA. Ingen habituation sågs för det negativa inflytandet av buller på sömnkvalitet, humör och prestanda. Planer beräknades för IMRT och VMAT Smart Arc, med Pinnacle TPS för en Elekta (IMRT-E, VMAT-E) och Varian linac (IMRT-V, VMAT-V).

Var och en av dessa kliniska enheter och deras föreslagna hantering har diskuterats. (60) Co och linac planer jämfördes genom att utvärdera överensstämmelse (CN) med 100% och 95% av receptbelagda referensdoser. Den sonografiska markörens allmänna prestanda bedömdes med hänsyn till åren och moderåldern. Detta kommer att resultera i en minskning av bullerpåverkan på cirka 3 dB (A) för friflöde och upp till 4 dB (A) för intermittent trafik. När BCS plus-strålning jämfördes med enbart mastektomi var övergripande överlevnad vid 3, 5 och 10 år 96,5% mot 93,4%, 92,9% mot 88,3% respektive 80,9% mot 67,2%. Slutsats Dessa analyser tyder på att överlevnadsförmåner inte bara är relaterade till själva operationen, men att den prognostiska fördelen med BCS plus-strålning över mastektomi kan också relateras till tillsatsen av adjuvansstrålningsterapi.

Vi använde Cox proportionell riskmodell för analyserna med justering. Slutsatser Enligt fabriks bullerkarta, förutom kontrollrummen med 81 dBA brus, var andra fall av mätstationer högre än standardexponeringen för 85 dBA brus. Ytterligare analyser behövs för att bättre definiera patienter som är kandidater till denna behandlingsmodalitet. Ljudnivåer mättes på tre avdelningar med fyra bågar med sex bäddar vardera (avdelningar A, B och C), en avdelning av endast rum (avdelning D) och en kirurgisk högberoende enhet (avdelning E) på åtta sängar. Dessa studier kan emellertid vara förspända genom omvänd orsak, förvirrad av obestämda miljöexponeringar och kan missa tidpunkter för vilka potentiell telomer-mätning bäst skulle avslöja sambandet mellan telomerlängden och NHL-risken. För varje schema är det vanligt att definiera tre olika kritiska nivåer (vanliga, måttliga och svåra, vilka är kopplade till varningsnivåer, enligt nödplaner. Faktum betonas att ingen genetisk skada på barnet var förväntat. Vid varje tidpunkt var barnen differentierade i två grupper (med risk för LI, utan

risk) med hjälp av avskärningar som var specifika för var och en av språkåtgärderna. Tillsammans föreslår dessa resultat att robusthet kan förbättras genom att sammankoppla nätverk med kompletterande kapaciteter om sätten att försvåra spridning av internetarbete begränsas. Trauma, infektion eller kemoterapi kan ibland återkalla strålskador och irreversibel förändring.

Strålterapi är fortfarande en viktig del av cancerbehandling med cirka 50% av alla cancerpatienter som får strålbehandling under sin sjukdom. Det bidrar till 40% av läkande behandling för cancer. I synnerhet visade sig en monolitisk anordning baserad på epitaxial p-typ kisel, kännetecknad av hög rumlig upplösning och förmåga att direkt mäta temporära variationer i dosmodulering, vara bästa möjliga lösning för förbehandlingsverifieringar i IMRT-fält. Trafikrelaterad luftförorening kännetecknades som fordonstrafikvolymen på stora vägar inom en 1 km bostadsbuffert och som exponering för kvävedioxid (NO₂). För detta ändamål utvecklade vi ett tidigt varningsförfarande med namnet MAFALDA (Modeling and Forecasting Ash loading and dispersion i atmosfären). Den första analysen undersökte de övergripande relationerna över hela sömnperioden.

Radioterapi Oncology Group Protocol 1005, en fas 3, multiinstitutionell, randomiserad test pågår och utvärderar ekvivalensen av en liknande dos och. Studien var en randomiserad placebokontrollerad klinisk prövning inklusive 674 HIV-infekterade, antiretrovirala naAv-Tanzanian kvinnor som rekryterades under graviditeten och följdes upp efter leverans. Föroreningsnivåer ökar generellt med motorvägs närhet, i överensstämmelse med att I-93 är en viktig källa till TRAP; Höjden och utsträckningen av avståndsförlängningsgradienterna varierar emellertid av grannskap såväl som av föroreningar, säsong och tid på dygnet. Eftersom fler människor med cancer överlever längre, lever ett allt större antal patienter med komplikationerna av strålbehandling och har i vissa fall varit svåra att hantera. Med hjälp av geografisk kartläggningsteknik överlagde vi först buffertarna på befolkningsdata för att uppskatta de delar av befolkningen som potentiellt utsattes för fyra plausibla slagzoner. I dokumenten ansågs effekterna av typiska industri- och trafikföroreningar (föreningar av järn, zink, koppar, bly, krom, kadmium, svaveldioxid, ozon, polycykliska aromatiska kolväten) på växter via mark, vatten, luft och nederbörd har studerats. Därför är tillförlitligheten av EURDEP-uppgifter av avgörande betydelse.

Vår slutsats framhäver behovet av leukemi-typspecifika analyser i framtida studier. På samma sätt är katarakt också förknippad med ökad oxidativ stress. Trots att flera utvecklade länder har väletablerade system för övervakning av floden och översvämning av tidig varning, är befolkningstal som påverkas varje år av översvämningar i utvecklingsländerna oroväckande. Översynen kommer att visa att kombinationen av strålterapi och immunterapi har rapporterats i flera anmärkningsvärda fall A-studier, serier och kliniska prövningar. Dessa fynd tyder på att det finns oberoende effekter av trafikrelaterat buller och luftförorening vid CHD-dödlighet. Detaljerade riktlinjer och bilder i målvolymer diskuteras. I det här kapitlet presenteras några exempel på hur fjärranalys och hydrologiska modelleringstekniker används för att generera en uppsättning indikatorer för torckaövervakning vid dekadala (10-dagars), månads-, säsongs- och årskalor för flera utvalda regioner runt om i världen. Kameramodulen består av kameranheten och datorn. Denna forskning bidrar till en förståelse för de divergerande effekter som olika delar av regionen kan utöva på beteendet. Vi diskuterar ett prototypsystem för jordbävning och tsunami-tidig varning utvecklad hos SIO för västra USA Systemet är baserat på realtids GNSS- och accelerometerdata, om den är tillgänglig på eller nära en GNSS-station. Fem års överlevnad var 94,4% i etapp I och 100% i fas II-patienter.

